

# تشکیل الماس بر روی زیر لایه های فولاد زنگ نزن نوع ۳۱۶ و ۴۳۰

محمد علی گلزار\*

دانشکده مهندسی مواد، دانشگاه صنعتی اصفهان

(دستیابی مقاله: ۱۳۷۵/۳/۲۲ - دریافت نسخه‌های: ۱۳۷۶/۲/۲۴)

چکیده - هدف از این پژوهش، تحقیق در زمینه جوانی زنی و رشد<sup>۲</sup> پوشش‌های الماسی و شبهالماسی<sup>۳</sup> بر روی زیر لایه های<sup>۵</sup> فولادی توسط تکنیک استفاده از مشعل<sup>۶</sup> (شعله حاصل از احتراق استیلن و اکسیژن) است. برای این منظور، از فولادهای زنگ نزن<sup>۷</sup> آستانه‌ی<sup>۸</sup> (نوع ۳۱۶) و فریتی<sup>۹</sup> (نوع ۴۳۰) استفاده شد. همچنین تأثیر آماده سازی سطح زیر لایه نیز ارزیابی شد. کیفیت پوشش‌های تولید شده، توسط میکروسکوپیهای نوری و الکترونی از نوع روبشی<sup>۱۰</sup>، اشعه ایکس<sup>۱۱</sup>، اسپکتروسکوپی رامان<sup>۱۲</sup> و میکروسکوپ نیروی اتمی<sup>۱۳</sup> مطالعه شد.

نتایج حاصل نشان داد که بر روی زیر لایه فولاد زنگ نزن آستانه‌ی، پوشش تشکیل شده متشکل از دانه های منفرد و کاملاً متبلور<sup>۱۴</sup> الماس است. از سوی دیگر بر روی زیر لایه فولاد زنگ نزن فریتی مجموعه‌هایی از دانه های نیمه متبلور<sup>۱۵</sup> و غیر متبلور<sup>۱۶</sup> شبه الماسی تشکیل شد. همچنین مشاهده شد که پرداخت کردن سطوح زیر لایه ها با کاغذ سباده<sup>۱۰</sup> و یا اج کردن شیمیایی، چگالی جوانه زنی را افزایش می دهد. به علاوه مشخص شد که چگالی جوانه زنی تابع دمای زیر لایه است.

## Investigation of Diamond Deposition on AISI 316 & 430 Stainless Steel Substrates

M. A. Golozar

Department of Materials Engineering, Isfahan University of Technology

**ABSTRACT-** In this paper, the nucleation and growth of diamond/diamond-like coatings on austenitic (AISI 316) and ferritic (AISI 430) stainless steel substrates have been investigated using torch technique. The effects of substrate surface preparation has also been studied. The quality of coatings produced has been examined using optical and scanning electron microscopy, X-ray diffraction, Raman spectroscopy and atomic force

\* دانشیار

*microscopy.*

*The results obtained revealed very good crystalline grains and coating on austenitic and clusters of semi-and non-crystalline particles on ferritic stainless steel substrates. It was also observed that mechanical polishing and/or chemical etching would increase the nucleation density. The nucleation density was a function of substrate temperature, as well.*

## ۱- مقدمه

شد. گازهای یاد شده به داخل مشعل جوشکاری با شیپوره مناسب که در فاصله چند میلیمتری بالای نمونه مورد نظر مستقر شده فرستاده شد. به منظور کنترل دما، زیر لایه بروی یک منبع جاذب گرمانصب شد. این منبع می‌تواند یک مکعب ساده مسی باشد که از یک طرف آن آب وارد و از طرف دیگر خارج می‌شود. دمای نمونه با تنظیم جریان آب کنترل شده و با استفاده از یک ترموموکوپل از جنس کرومـآلومین که در فاصله ۱ میلیمتری زیر سطح به بدنه زیر لایه وصل شده اندازه گیری شد.

زیر لایه های مورد استفاده در این تحقیق از میله هایی به قطر ۱۰mm و ارتفاع ۱۰mm ساخته شد. دو نوع فولاد زنگ نزن، یکی آستانیتی (نوع ۳۱۶) و دیگری فریتی (نوع ۴۳۰) آزمایش شد. عناصر عمده تشکیل دهنده فولادهای یاد شده عبارت بودند از: فولاد آستانیتی؛ ۱۸-۱۶ درصد کرم، ۱۴-۱۰ درصد نیکل، ۳-۲ درصد مولیبدن و بقیه آهن. فولاد فریتی؛ ۱۸-۱۴ درصد کرم و حداقل ۵٪ درصد نیکل و بقیه آهن.

شرایط سطحی زیر لایه ها که ارزیابی شد عبارت بود از: حالت دریافت شده بدون انجام هرگونه آماده سازی، پرداخت شده یک جهته با کاغذ سنباده ۱۲۰۰ (زیری سطح ۰/۰۷ میکرون)، پرداخت شده متقطع با کاغذ سنباده ۱۲۰۰ و اج شده شیمیایی.

پارامترهای مربوط به فرایند رشد الماس در رابطه با کلیه نمونه ها عبارت بود از: دبی گاز اکسیژن ۹۰۰-۱۰۰۰ میلی لیتر در دقیقه، دبی گاز استیلن ۱۰۰۰-۱۴۰۰ میلی لیتر در دقیقه، دبی کل گاز ۱۹۰۰-۲۴۰۰ میلی لیتر در دقیقه، زمان آزمایش ۵-۸۰ دقیقه، دمای زیر لایه ۳۵۰-۱۰۰۰ درجه سانتیگراد (بسته به نوع زیر لایه متفاوت بود).

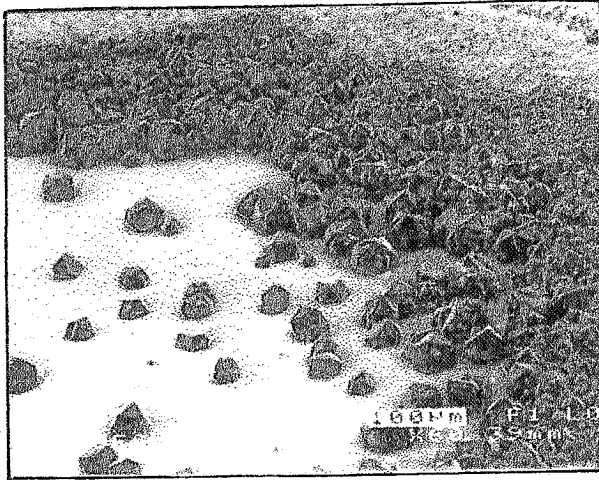
پارامترهای اندازه گیری و یا ارزیابی شده در هر مورد عبارت بود از: چگالی جوانی زنی (تعداد کریستالهای تشکیل شده در واحد سطح در زمان مشخص) سرعت رشد (میکرون در ساعت)، کیفیت

الماس و شبه الماس، به خاطر مجموعه خواص منحصر به فرد خود، در صنعت پوشش دادن کاربرد وسیعی داشته و لذا از جایگاه ویژه ای برخوردارند [۱ و ۲]. روش‌های تولید پوشش‌های الماسی و شبه الماسی بسیار متنوع است [۴-۱]. در این میان روش استفاده از مشعل یا شعله، جوانترین و شگفت انگیزترین روش تولید الماس است که در عین سادگی و ارزانی به دقت بسیار زیادی نیاز دارد [۵]. با به گار گیری این روش، نقش بسیاری از پارامترها نظیر شرایط سطحی زیر لایه [۶ و ۷]، طبیعت شعله، نسبت اکسیژن به استیلن [۹-۶] و همچنین اثر دمای زیر لایه و زمان [۱۱-۶] توسط محققان مختلف ارزیابی شده است. گرچه کاربرد عمده پوشش‌های الماسی و شبه الماسی بر روی مواد مهندسی نظیر انواع فولادهاست، مع هزار اکثر تحقیقات انجام شده [۱۱-۳] بر روی موادی نظیر Mo، TiN، WC و Si متمرکز شده است.

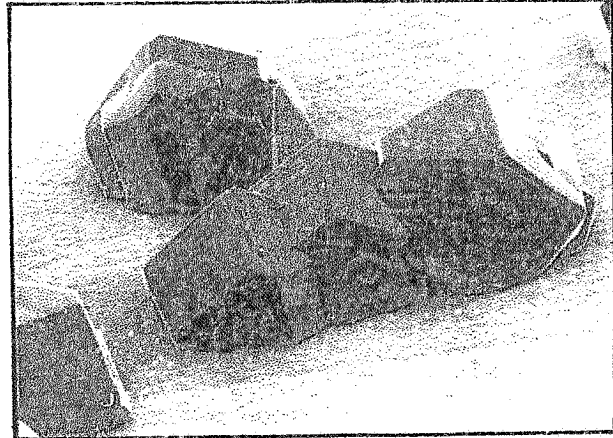
هدف از این تحقیق، تولید پوشش‌های الماسی و شبه الماسی بر روی دو گروه از معروفترین گروههای فولادهای زنگ نزن یعنی ۳۱۶ و ۴۳۰ و مقایسه آن با تشکیل این نوع پوششها بر روی زیر لایه مولیبدن است. در این رابطه اثرات پارامترهایی نظیر شرایط سطحی زیر لایه و دمای بر روی سرعت جوانهزنی و رشد پوشش نیازارزیابی شد.

## ۲- روش کار

تکنیک استفاده از شعله یا مشعل برای تشکیل پوشش‌های الماسی و شبه الماسی و همچنین اثرات برخی از پارامترها در رابطه با زیر لایه مولیبدن به طور کامل توسط نویسنده ارائه شده است [۱، ۶، ۷، ۹ و ۱۱]. در این روش از گازهای اکسیژن و استیلن به ترتیب با درصدهای خلوص بالا و تجاری استفاده شد. سرعت و نسبت گازها که از کپسولهای مربوطه تأمین می‌شوند، توسط شیرهای طریف و دقیق کنترل و به کمک دبی سنجهای مناسب اندازه گیری



شکل ۲- تصویر میکروسکوپی الکترونی از پوشش پیوسته، مشکل از کریستالهای کاملاً متبلور الماس، تشکیل شده بر روی زیر لایه فولاد زنگ نزن آستینتی



شکل ۱- تصویر میکروسکوپی الکترونی از تک کریستالهای کاملاً متبلور الماس، تشکیل شده بر روی زیر لایه فولاد زنگ نزن آستینتی

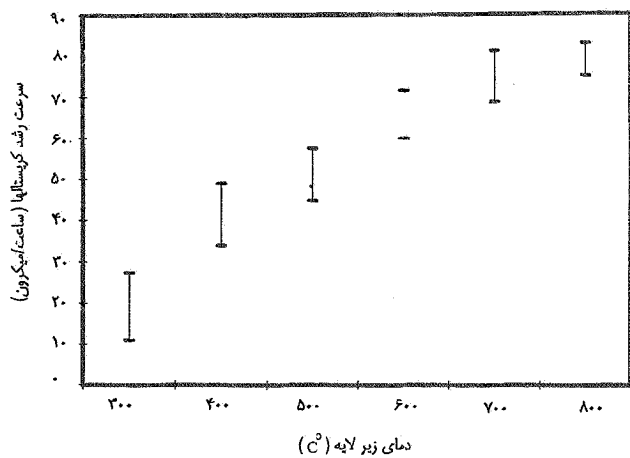
پوشش (توسط طیفهای تفرق اشعه ایکس و اسپکتروسکوپی رامان) و مورفولوژی کریستالها و پوششهای تشکیل شده (توسط میکروسکوپهای نوری، الکترونی روپیشی و نیروی اتمی). سرعت رشد شامل سرعت رشد کریستالهای منفرد (افزایش متوسط ابعاد موازی سطح زیر لایه) و افزایش ضخامت پوشش الماس (در جهت عمود بر زیر لایه) است.

### ۳- نتایج، بحث و بررسی

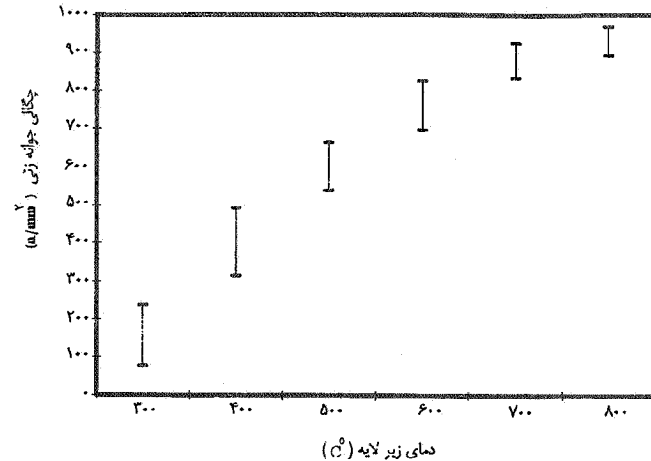
دیگر در دماهای پایین، کریستالهای الماس از چسبندگی کمتری برخوردار بودند، به نحوی که در حین آزمایش و یا بلا فاصله پس از آن به راحتی از سطح زیر لایه جدا می‌شد. چسبندگی کریستالهای الماس در دماهای بالاتر به مراتب بیشتر بود. مع‌هذا، تشکیل الماس در این دماها به طور عمده به ناحیه خارجی و اطراف نمونه محدود می‌شد (شکل ۶). به علاوه ملاحظه شد که سطوح کریستالهای الماس تشکیل شده در دماهای بالا بعض‌اً اچ می‌شوند. این پدیده با افزایش دمای زیر لایه افزایش یافت. شایان ذکر است که اثر یاد شده در رابطه با الماس تشکیل شده، بر روی زیر لایه مولبیدن نیز گزارش شده است [۶، ۷ و ۹]. گرچه در دماهای پایین صرفاً کریستالهای منفرد و یا مجموعه کریستالهای پراکنده مشاهده شد، مع‌هذا، تحت شرایط یاد شده طبیعت متبلور بودن دانه‌های الماس به وجود آمده به مراتب بهتر و بیشتر ملاحظه شد.

گرچه طیفهای تفرق به دست آمده از مطالعات اشعه ایکس انجام گرفته روی پوششهای تشکیل شده بر روی زیر لایه فولاد زنگ نزن آستینتی، نشان دهنده پیکهای ضعیف مربوط به الماس بود (شکل ۷)، مع‌هذا، نتایج حاصل از اسپکتروسکوپی رامان (شکل ۸) نشان دهنده پیکهای کاملاً واضح و روشن در موقعیت مربوط به پیک الماس طبیعی یعنی در محل  $1332\text{Cm}^{-1}$  بود. تصاویر به دست آمده از پوششهای مزبور توسط AFM (شکل ۹) حضور

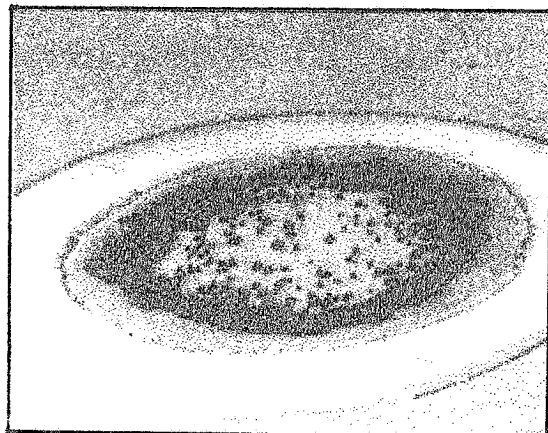
نتایج حاصل از انجام آزمایشات بر روی زیر لایه فولاد زنگ نزن آستینتی در دماهای مختلف نشان داد که دمای بهینه زیر لایه برای تشکیل الماس در این رابطه بین  $600$  تا  $700$  درجه سانتیگراد است. این امر با توجه به سرعت تشکیل و رشد کریستالها و سرعت رشد پوشش و همچنین کیفیت آنها مشخص شد. برای زمان آزمایش کمتر از  $20$  دقیقه، کریستالهای منفرد و همچنین مجموعه‌های چند کریستالی کاملاً متبلور الماس مشاهده شد (شکل ۱). از سوی دیگر برای زمان آزمایش طولانی تر از  $30$  دقیقه پوششهای نیمه پیوسته و یا پیوسته الماس (شکل ۲) مشاهده شد. در محدوده دمایی  $300-400$  درجه سانتیگراد با افزایش دمای زیر لایه، چگالی جوانه زنی، اندازه دانه‌های الماس و همچنین سرعت رشد پوشش افزایش یافت (شکلهای ۳-۵). این اثر در دماهای پایین محدوده حرارتی یاد شده بیشتر از دماهای بالا مشهود بود. از سوی



شکل ۵- اثر دمای زیر لایه ببروی سرعت رشد پوشش الماس، تشكیل شده ببروی زیر لایه فولاد زنگ نزن آستینتی



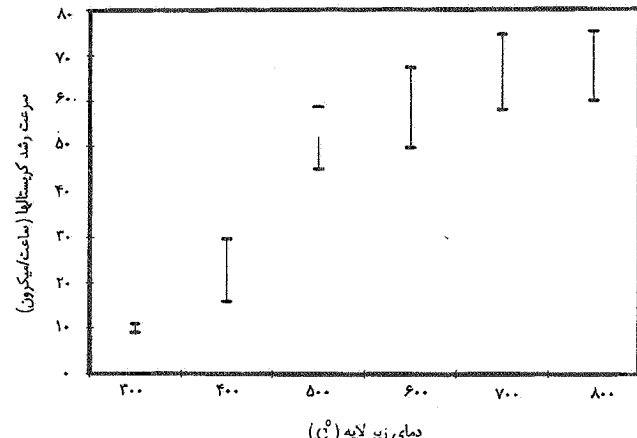
شکل ۳- اثر دمای زیر لایه ببروی چگالی جوانه زنی الماس روی زیر لایه فولاد زنگ نزن آستینتی



شکل ۶- تصویر میکروسکوپی الکترونی از چگونگی توزیع کریستالهای الماس تشكیل شده ببروی زیر لایه فولاد زنگ نزن آستینتی در دمای بالا

برروی اندازه کریستالهای الماس ندارد. از سوی دیگر ببروی زیر لایه های اچ شده کریستالهای الماس با اندازه های کاملاً متغیر مشاهده شد. اعتقاد بر این است که این امر ناشی از تأثیر توام دو پارامتر، یکی زمان کوتاهتر جوانه زنی و دیگری چگالی بیشتر جوانه هاست. برای زمان پوشش دادن ثابت، پارامتر اول موجب افزایش اندازه کریستالهای الماس و پارامتر دوم موجب کاهش آنها خواهد شد.

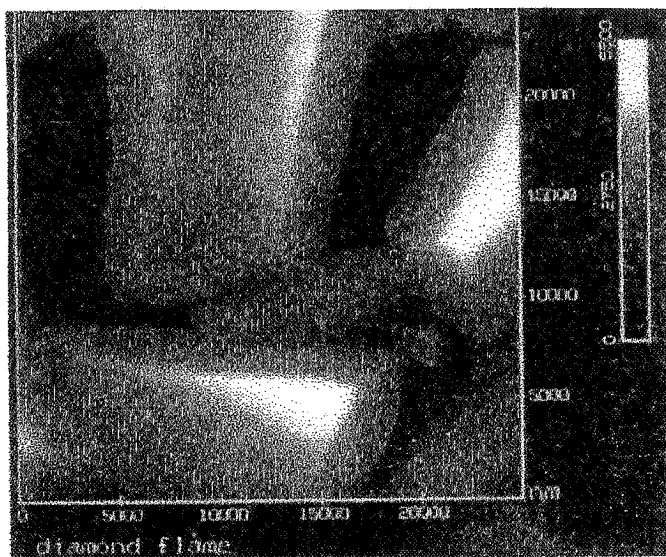
مطالعات میکروسکوپی الکترونی انجام گرفته ببروی



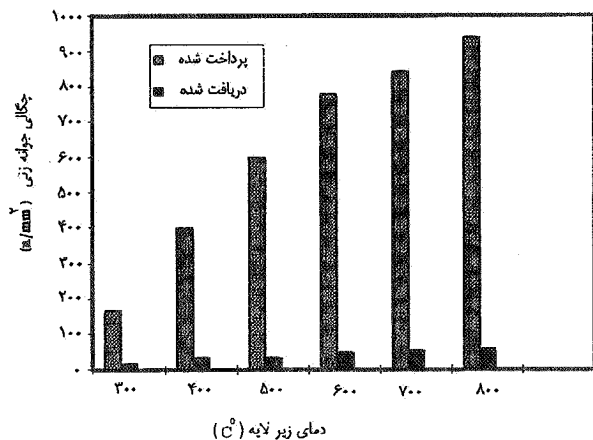
شکل ۴- اثر دمای زیر لایه ببروی سرعت رشد کریستالهای الماس، تشكیل شده ببروی زیر لایه فولاد زنگ نزن آستینتی

کریستالهای کاملاً متببور را نشان داد.

همچنین، نتایج حاصل نشان داد که در مقایسه با نمونه ها در شرایط دریافت شده، پرداخت کردن سطح زیر لایه ها با کاغذ سنباده ۱۲۰۰ موجب افزایش چگالی جوانه زنی تا حد ده برابر می شود (شکل ۱۰). از سوی دیگر اچ کردن شیمیایی سطح زیر لایه ها (نمونه ها در شرایط دریافت شده و یا پرداخت شده) چگالی جوانه زنی را در حد ۲ الی ۳ برابر افزایش داد (شکل ۱۱). اثرات مزبور با نتایج به دست آمده در رابطه با زیر لایه مولیبدن هم خوانی دارد [۶، ۷، ۹]. بعلاوه ملاحظه شد که پرداخت کردن سطح، اثر چندانی



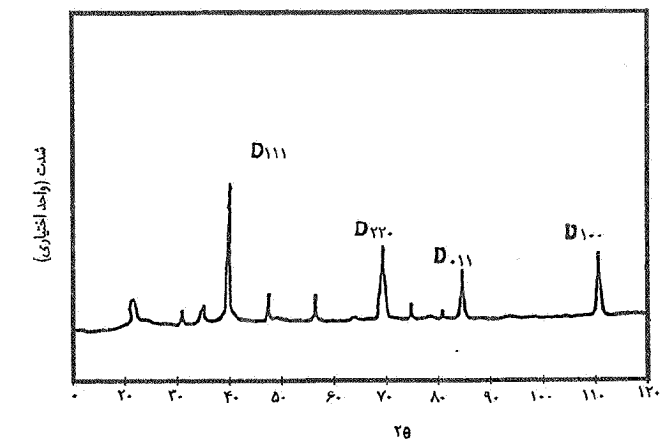
شکل ۹- تصویر میکروسکوپی با نیروی اتمی (AFM)، نشان دهنده حضور دانه های کاملاً متبلور بروی زیر لایه فولاد زنگ نزن آستینیتی



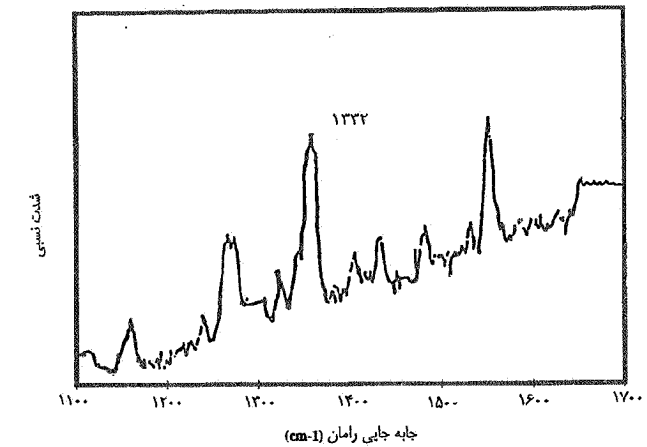
شکل ۱۰- اثر پرداخت کردن سطح بروی چگالی جوانه زنی الماس بروی زیر لایه فولاد زنگ نزن آستینیتی در دمای های مختلف

محصولات یاد شده، عمدها در خانواده پوشش‌های شبیه الماسی قرار می‌گیرند.

در محدوده دمایی  $800-300$  درجه سانتیگراد، اثر قابل ملاحظه ای در رابطه با چگالی خوشی های تشکیل شده بروی فولاد زنگ نزن فریتی ملاحظه نشد. مع هذا، با کاهش دما، تمایل ذرات یا دانه های تشکیل دهنده خوشی ها به متبلور شدن افزایش یافت. به علاوه این پدیده همراه با تشکیل خوشی های کوچکتر و



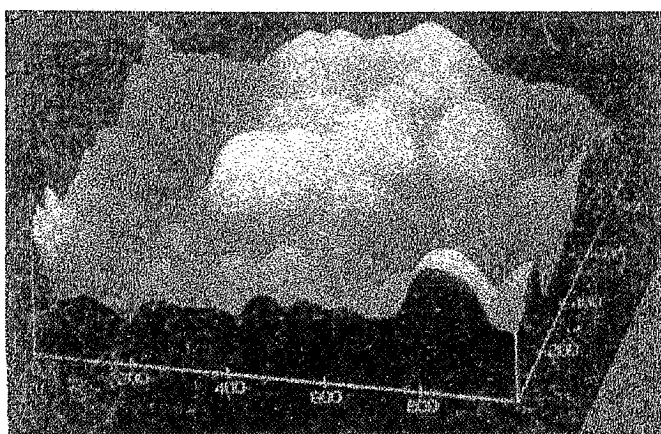
شکل ۷- طیف تفرق اشعه ایکس به دست آمده از پوشش الماسی تشکیل شده بروی فولاد زنگ نزن آستینیتی



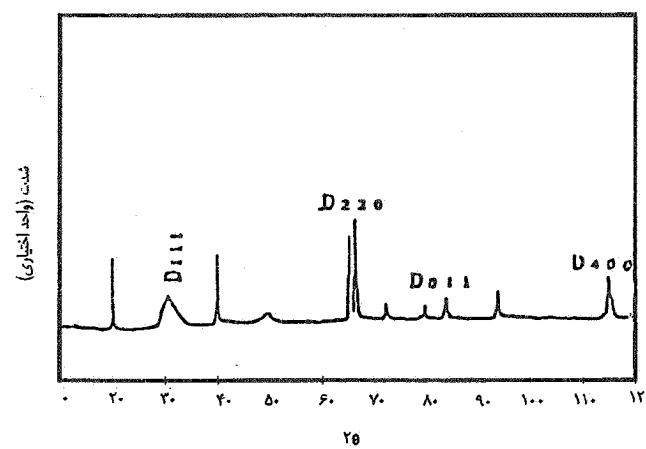
شکل ۸- طیف اسپکتروسکوپی رامان به دست آمده از پوشش الماسی تشکیل شده بروی فولاد زنگ نزن آستینیتی

محصولات تشکیل شده روی زیر لایه های فولاد زنگ نزن فریتی، نشان دهنده تشکیل و حضور خوشی هایی لز دانه های نیمه متبلور و گاهی بی شکل و به صورت پراکنده بروی سطح بود (شکل ۱۲). تصاویر AFM (شکل ۱۳) نیز حضور محصولات بی شکل در این حالت را تایید کرد.

مشخص شد که دمای بهینه زیر لایه برای تشکیل این خوشی ها در محدوده  $600-500$  درجه سانتیگراد است. طیفهای تفرق اشعه ایکس (شکل ۱۴) و اسپکتروسکوپی رامان (شکل ۱۵) تهیه شده از محصولات یاد شده، فقط پیکهای نسبتاً ضعیف از مشخصه های ویژه الماس را نشان داد. از این رو می توان نتیجه گرفت که

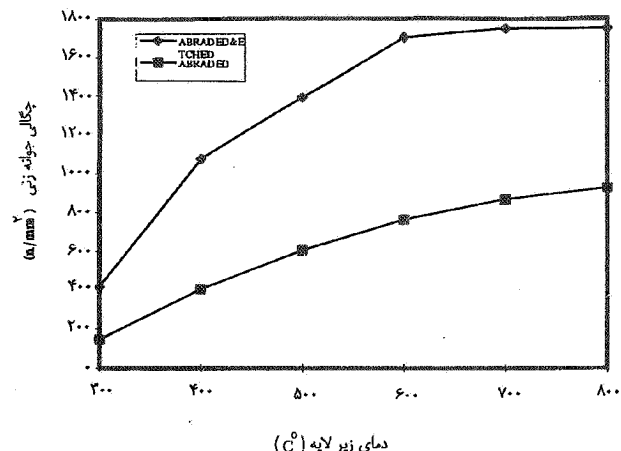


شکل ۱۳- تصویر میکروسکوپی با نیروی اتمی AFM، نشان دهنده حضور محصولات بی شکل، تشکیل شده بر روی زیر لایه فولاد زنگ نزن فریتی

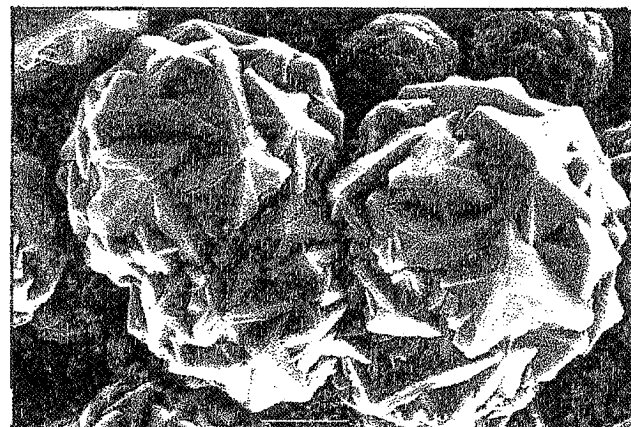


شکل ۱۴- طیف تفرق اشعه ایکس به دست آمده از محصولات تشکیل شده بر روی زیر لایه فولاد زنگ نزن فریتی

مقایسه ترکیب شیمیایی دو نوع فولاد آزمایش شده نشان می دهد که حضور  $\frac{2}{3}$  درصد عنصر مولیبدن در فولاد زنگ نزن آستینیتی، نقش تعیین کننده ای در تشکیل الماس بر روی زیر لایه های تهیه شده از این فولاد دارد. مؤید این مطلب، تشکیل الماس کاملاً متبلور با خواصی عیناً مشابه با خواص الماس تشکیل شده بر روی زیر لایه های مولیبدن خالص است [۹-۴]. شایان توجه است که جوانه زنی و رشد کریستالها و پوشش الماسی بر روی زیر لایه مولیبدنی، به مراتب ساده تراز تشکیل آن بر روی زیر لایه فولاد



شکل ۱۱- اثر اج کردن شیمیایی سطح بر روی چگالی جوانه زنی الماس بر روی زیر لایه فولاد زنگ نزن آستینیتی در دمای های مختلف



شکل ۱۲- تصویر میکروسکوپی الکترونی، نشان دهنده طبیعت پوشش تشکیل شده بر روی زیر لایه فولاد زنگ نزن فریتی

کاهش چسبندگی محصولات روی زیر لایه بود. گرچه پرداخت کردن سطح زیر لایه های فولاد فریتی چگالی جوانه زنی را تا حدودی افزایش داد، مع هذا، اج کردن شیمیایی سطح زیر لایه ها (در شرایط دریافت شده و یا پرداخت شده) موجب افزایش تعداد خوشها به مقدار قابل ملاحظه ای شد. شایان توجه است که به علت تکرار ناپذیر بودن نتایج در شرایط یاد شده و همچنین عدم تشکیل دانه های منفرد در تمام موارد، ارائه نتایج به دست آمده به صورت جدول و یا منحنی امکانپذیر نبود.

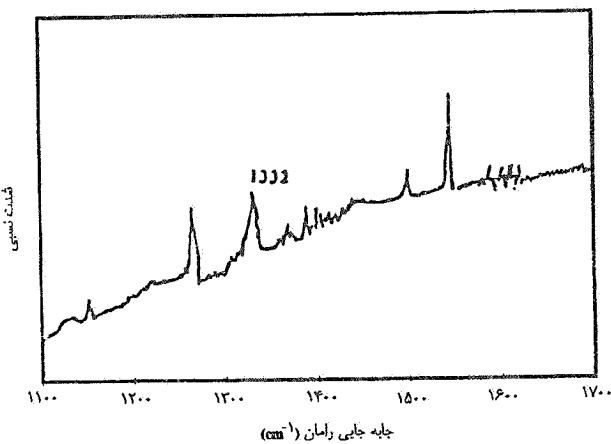
جدول ۱- اثر شرایط سطحی بر روی چگالی جوانه زنی (تعداد جوانه زنی در یک میلیمتر مربع)

روی زیر لایه های مختلف

فولاد زنگ نزن فریتی	فولاد زنگ نزن آستینیتی	مولیبدن*	زیر لایه شرایط سطحی
۲۰	۱۰۰	۲۰۰	شرایط دریافت شده
۳۰۰	۱۵۰۰	۴۵۰۰	اچ شده
۳۰۰	۹۰۰	۴۰۰۰	پرداخت شده
۴۰۰	۱۸۰۰	۴۷۰۰	پرداخت و اچ شده
۲۰۰	۸۰۰	۳۷۰۰	پرداخت متقطع

\* استخراج شده از [۷].

سطح زیر لایه های مختلف و همچنین وسعت تشکیل کریستالهای الماس در موقعیتهای مختلف سطح، نشان داد که احتمال جوانه زنی الماس در محل اثراست پرداخت و یا به طور کلی در محل فرورفتگیهای میکروسکوپی، به مراتب بیشتر است. اعتقاد بر این است که پرداخت کردن مکانیکی و یا اچ کردن شیمیایی، فرورفتگیهای را بر روی سطح ایجاد می کند که امکان تشکیل، محبوس شدن و لذا اباقی کریستالهای الماس در آن محلها افزایش می یابد. در حقیقت امکان جوانه زنی الماس در محلهایی از سطح کاملاً صاف و عاری از زیری یا فرورفتگی باشند، وجود دارد، اما تشکیل پیوند بین جوانه های یاد شده و سطح زیر لایه و لذا اباقی آنها روی سطح کمتر امکانپذیر است. از این رو، در رابطه با زیر لایه های پرداخت مکانیکی شده، حداکثر چگالی جوانه زنی در یک زیری مشخص سطح (حدود ۰/۰۷ میکرون) گزارش شده است [۹]. در رابطه با اثر دمای زیر لایه، گرچه در روش های با فشار کم (فشار اتمسفر)- دمای نسبتاً پائین، از نظر ترمودینامیکی تشکیل الماس در محدوده دمایی ۵۰۰-۱۲۰۰ درجه سانتی گراد امکانپذیر است [۱۰]، مع هذا، نتایج به دست آمده از آزمایشات انجام گرفته بر روی زیر لایه های مختلف [۶، ۷، ۹ و ۱۱] نشان می دهد که سرعت جوانه زنی و رشد کریستالهای الماس و همچنین کیفیت الماس تشکیل شده، تابع دمای زیر لایه است. به علاوه، محدودیت دمایی تشکیل الماس بستگی به نوع زیر لایه دارد. در دماهای پائین، گرچه کریستالهای الماس تشکیل می شوند، ولی به علت کافی نبودن دمای زیر لایه، چسبندگی خوبی وجود نداشته و لذا امکان



شکل ۱۵- طیف اسپکتروسکوپی رامان به دست آمده از محصولات تشکیل شده بر روی زیر لایه فولاد زنگ نزن فریتی

زنگ نزن آستینیتی است [۷، ۹، ۱۱ و ۱۲]. احتمال بر این است که نقش مولیبدن در قابلیت کاربیدزایی آن و همچنین ایجاد پیوند مستحکم بین کریستالهای الماس و زیر لایه نهفته است. گرچه کرم نیز عنصری است کاربیدزا و به مقدار قابل توجهی در هر دو نوع فولاد زنگ نزن یعنی آستینیتی و فریتی وجود دارد، اما قابلیت کاربیدزایی کرم کمتر از مولیبدن است.

نتایج حاصل نشان داد که بدون توجه به نوع زیر لایه، افزایش زیری سطح به روش های مکانیکی و یا شیمیایی، موجب افزایش چگالی جوانه ها می شود. این اثر در رابطه با زیر لایه های مولیبدن و فولاد زنگ نزن آستینیتی به مراتب بیشتر مشهود است (جدول ۱). مطالعات میکروسکوپی نوری و الکترونی انجام شده بر روی

۴- نتایج حاصل از آزمایشات اسپکتروسکوپی رامان و طیف تفرق اشعه ایکس انجام شده بروی پوشش‌های رشد داده شده بروی زیر لایه‌های فولاد زنگ نزن فریتی، فقط پیکهای ضعیف مربوط به مشخصه الماس را نشان داد. مع هذا، مطالعات میکروسکوپی الکترونی روبشی و AFM، نشان داد که پوشش‌های مزبور از نوع بی شکل و بعضاً نیمه متبلور است. این نوع پوشش عمدتاً در گروه شبه الماس قرار می‌گیرد.

۵- چگالی جوانه زنی و اندازه ذرات تشکیل شده بروی زیر لایه فولاد زنگ نزن فریتی تا حدودی تابع دمای زیر لایه و روش آماده سازی سطح (زیری سطح) است.

۶- در یک شرایط یکسان آماده سازی سطح، چگالی جوانه زنی الماس و یا شبه الماس بروی زیر لایه مولبیدنی به مراتب بیشتر از زیر لایه‌های فولاد زنگ نزن است.

#### قدرتانی

این مقاله در برگیرنده بخشی از نتایج حاصل از طرح تحقیقاتی مصوب شورای هماهنگی تحقیقات دانشگاه صنعتی اصفهان است که در دانشکده مهندسی مواد این دانشگاه انجام شده است. بدین وسیله از معاونت محترم پژوهشی دانشگاه تشکر و قدردانی می‌شود. همچنین از مسئولین دانشکده طراحی و مهندس مواد، دانشگاه ناتینگهام به خاطر انجام مطالعات اسپکتروسکوپی رامان و AFM سپاسگزاری می‌شود.

طبقای جوانه‌ها بروی سطح زیر لایه کمتر است. از سوی دیگر در دماهای بالا، جوانه‌های الماس به راحتی تشکیل شده، چسبندگی خوبی وجود دارد و لذا امکان ابقاء این جوانه‌ها بروی سطح زیر لایه به مراتب بیشتر است. مع هذا، تحت شرایط مزبور و به علت دمای بالا، امکان اج شدن و از بین رفتن مجدد جوانه‌های تشکیل شده وجود دارد. به بیان دیگر، جوانه‌های یاد شده پس از تشکیل، در اثر اج شدن حرارتی ممکن است از بین بروند. این امر موجب می‌شود که سرعت جوانه زنی در دماهای بالاتر مجددآ کاهش یابد. شایان توجه است که اثرات اج شدن حرارتی بروی سطوح کریستالهای الماس تشکیل شده در دماهای بالا و بروی زیر لایه‌های مولبیدن قبل از گزارش شده است [۶].

#### ۴- خلاصه و تئیجه گیری

۱- با استفاده از تکنیک تهیه الماس به روش شعله‌ای، امکان رشد کریستالها و پوشش الماسی با کیفیت عالی بروی زیر لایه فولاد زنگ نزن آستانه‌ی وجود دارد.

۲- در محدوده دمایی ۳۰۰ الی ۸۰۰ درجه سانتیگراد، با افزایش دمای زیر لایه، چگالی جوانه زنی، اندازه کریستالها و سرعت رشد پوشش الماسی افزایش می‌یابد.

۳- پرداخت مکانیکی و یا اج کردن شیمیایی سطح زیر لایه فولاد زنگ نزن آستانه‌ی موجود افزایش چگالی جوانه زنی الماس می‌شود.

#### واژه نامه:

1- nucleation	8- austenitic	13- atomic force microscopy
2- growth	9- ferritic	14- crystalline
3- diamond coatings	10- scanning electron microscopy	15- semi-crystalline
4- diamond - like	11- X-ray	16- non-crystalline
5- substrate	12- Raman spectroscopy	
6- torch		
7- stainless steels		

#### مراجع

۱. گلendar، م.ع. "پوشش‌های نوین الماسی و شبه الماسی،" نشریه صنعت آنکاری، سال دوم، شماره دوم، ص ۱۰-۳، ۱۳۷۲.
۲. Spear, K. E., "Diamond Ceramic Coating of the Future," *Journal of American Ceramic Society*, Vol. 72, No. 2, pp. 171-191, 1989.
۳. Messier, R., Badzian, A. R., Badzian, T., Spear, K.

- E., Bachmann, P. and Roy, R., "From Diamond-like Carbon to Diamond Coatings," *Thin Solid Films*, Vol. 153, pp. 1-9, 1987.
4. Bachmann, P. K., "Diamond Thin Film Technology," *Advanced Materials*, Vol. 2, No. 4, pp. 195-199, 1990.

5. Hirose, Y., and Kondo, M., "Combustion Flame Technique to Produce Diamond," Extended Abstracts, 35th Spring Meeting, Japan Applied Physics Society, Vol. 29, p. 434, 1988.
- ۶- گلزار، م.ع. "پارامترهای مؤثر در تهیه پوشش‌های الماسی به کمک مشعل"، نشریه استقلال، شماره ۱۴، ۱۷-۱، ص ۱۳۷۲.
7. Golozar, M. A., McColl, I. R., and Wood, J. V., "Nucleation and Growth of Diamond and Diamond-like Coatings Produced by Torch Technique," *Iranian Journal of Science and Technology*, Vol. 19, No. 1, Transaction A, pp. 67-78, 1995.
8. Ravi, K. V., and Koch, C. A., "Nucleation Enhancement of Diamond Synthesized by Combustion Flame Techniques," *Applied Physics Letters*, Vol. 51, No. 4, pp. 384-350, 1990.
9. Golozar, M. A., McColl, I. R., Grant, D. M., and Wood, J. V., "Combustion Flame Grown Diamond Films," *Diamond and Related Materials*, Vol. 1, No. 1, pp. 262-266, 1992.
10. Morrish, M. A., and Pehrsson, P. E., "Effects of Surface Pretreatments on Nucleation and Growth of Diamond Films on a variety of substrates," *Applied Physics Letters*, Vol. 59, No. 4, pp. 417-419, 1991.
11. Golozar, M. A., "Deposition of Diamond on Stainless Steels, Using Combustion Flame Technique", *Proceedings of the 5th world Seminar on Heat Treatment and Surface Engineering*, IFHT'95, Isfahan, IRAN, pp. 421-432.